

Lens-free phase microscopy for detection of minute quantity of materials

Bc. Matěj Hejda

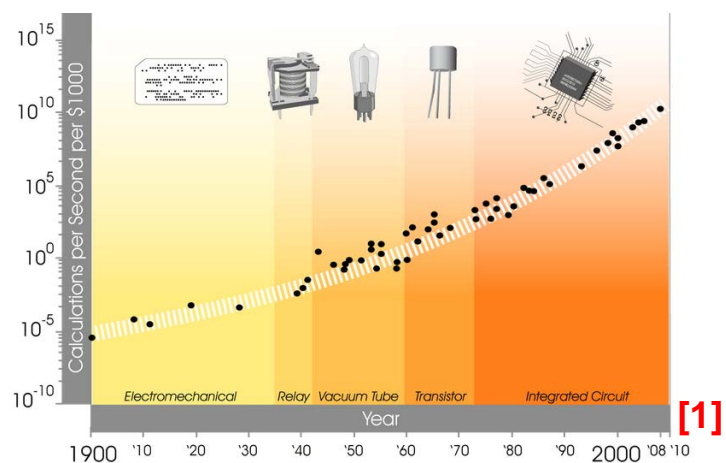
(Roland Terborg, Luc Duempelmann, Valerio Pruneri)

studijní obor: **NMgr. Nanomateriály**

30.5.2018 SKFM TUL, Liberec

Úvod

◎ exponenciální technologický vývoj: **cena ↓, výkon ↑**



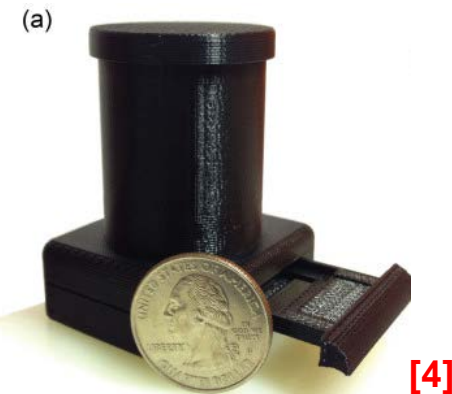
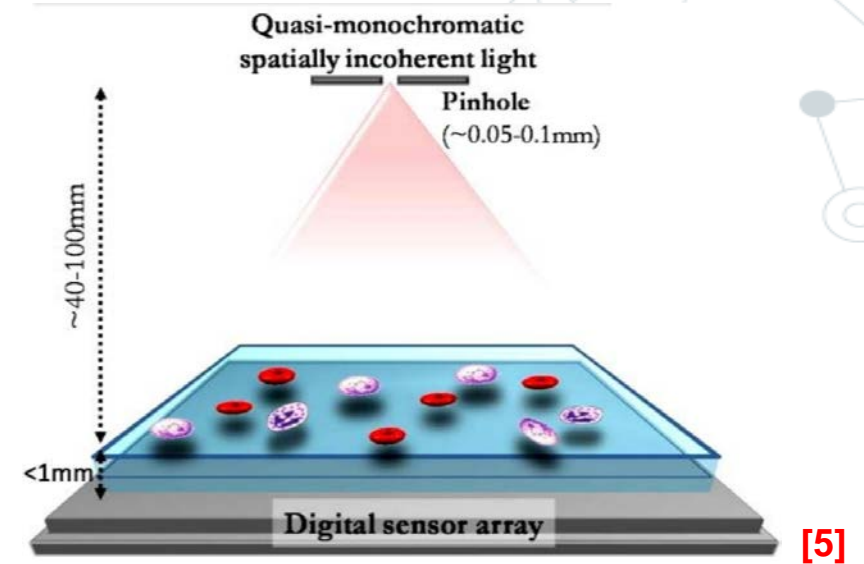
◎ *důsledek:*

technologie (mj. např. snímače obrazu) + výpočetní výkon jsou mnohem dostupnější

→ výzva: **Jak to využít pro zlepšení kvality života?**

Bezobjektivová mikroskopie (lensfree microscopy)

- ⊙ nevyužívá optických elementů (čoček)
- ⊙ nevyužívá fokusované světlo
- ⊙ obecně kompaktní zařízení
- ⊙ zorné pole nevázané na zvětšení
- ⊙ holografický / interferometrický kontrast
- ⊙ vysoká hloubka ostrosti (*dodatečné ostření*)
- ⊙ vyžaduje počítačové zpracování dat
- ⊙ obecně omezené plošné rozlišení



Lensfree interferometric microscope (LIM)

- © vyvinuto v **ICFO^R**, vychází z bezobjektivové mikroskopie
Institut
de Ciències
Fotòniques
- © umožňuje měřit velmi tenké a slabě rozptylující vzorky
- © citlivost na změnu optické dráhy: $< 1 \text{ nm}$

**Jak dosáhnout takto vysokého
axiálního rozlišení ? 🤔**

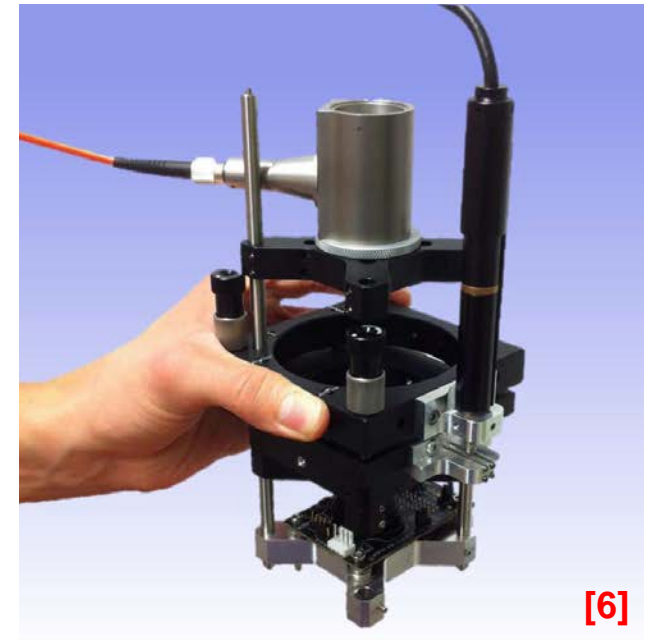
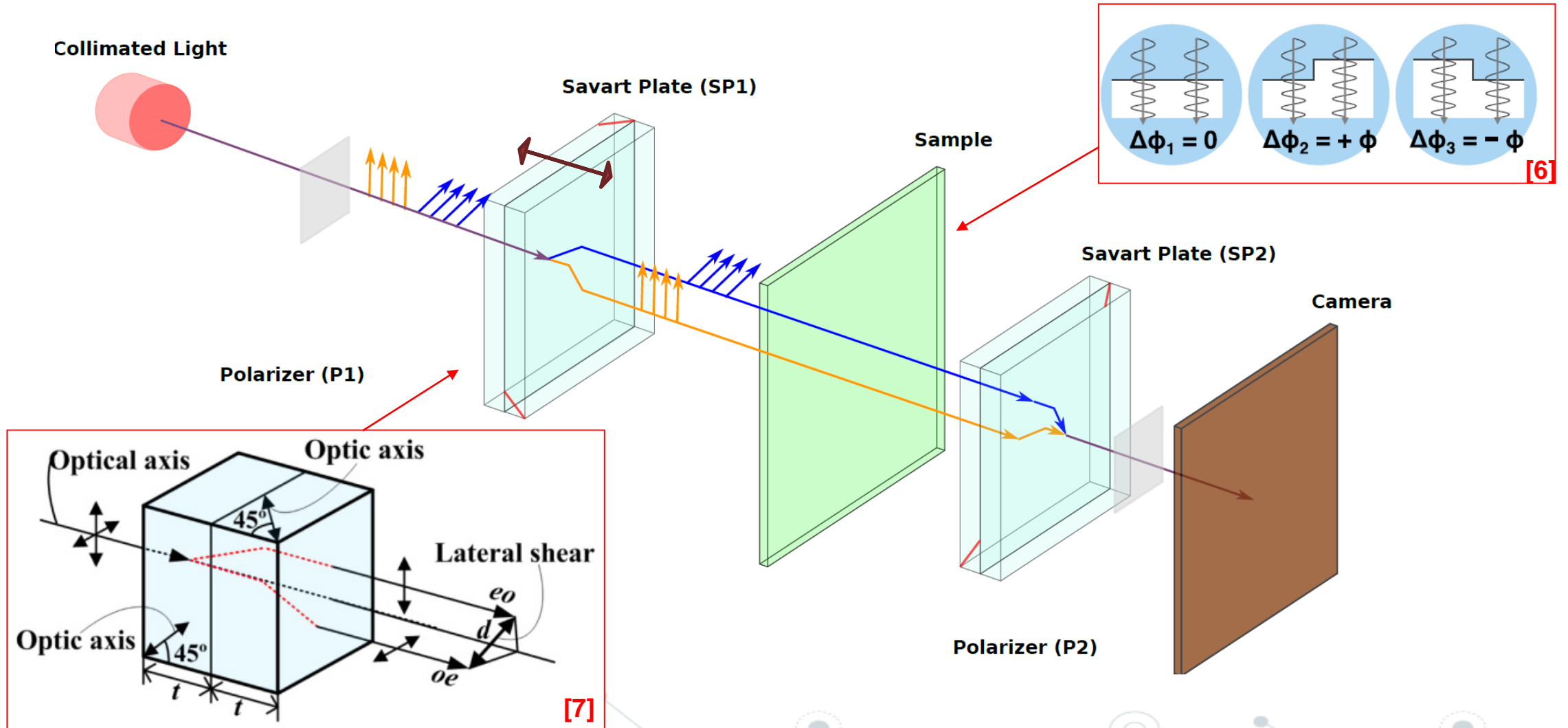
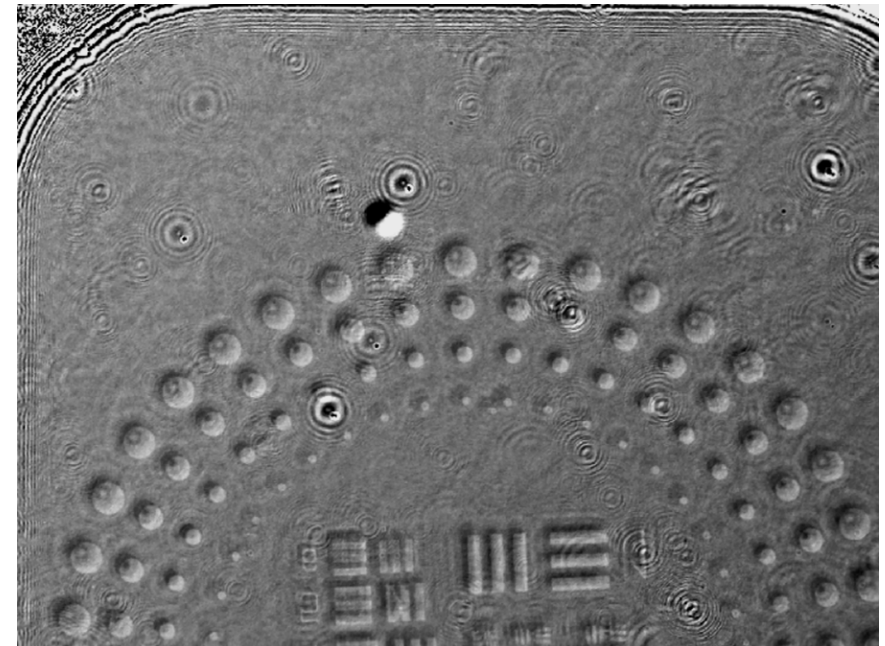
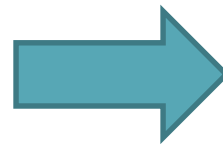


Schéma: lensfree interferometric microscope (LIM)



Lensfree interferometric microscope (LIM)

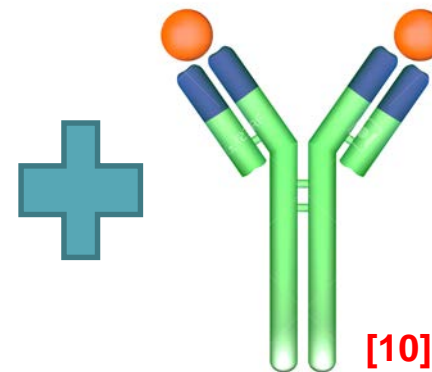
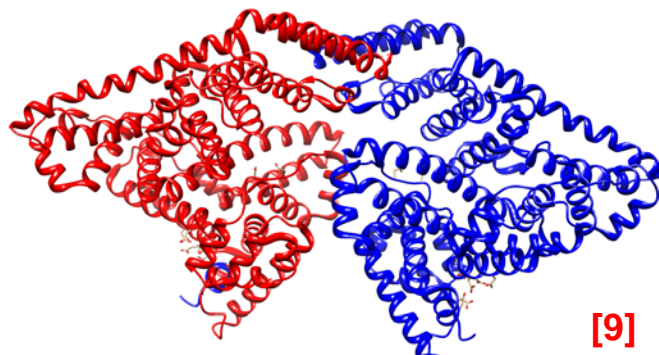
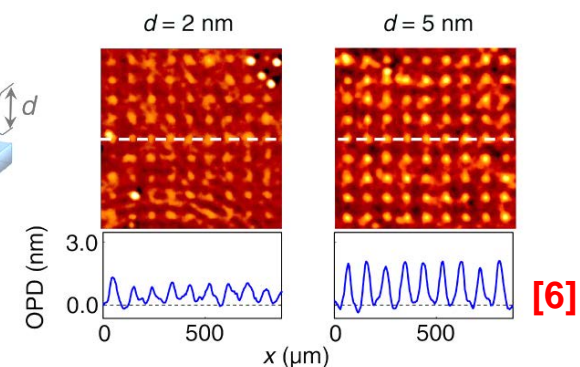
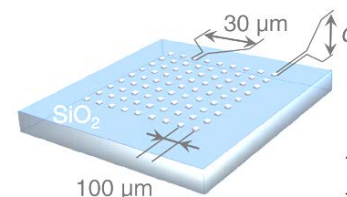
- ⊙ výsledný snímek je nutno algoritmicky zpracovat
- ⊙ rekonstrukce fáze: *modified Phase-shifting interferometry [6,8]* a *back propagation (kvůli difrakci)*



Měření pomocí LIM

- ◎ plošné rozlišení $\sim 25 \mu\text{m}$, axiální OPD rozlišení $< 1 \text{ nm}$
- ◎ úspěšné měření tenkých transparentních vzorků:
SiO₂ mikrotečky ($h = 2; 5 \text{ nm}$) – *ověřeno na AFM*

- ◎ Nejzajímavější měření:
protilátky navázané na proteinové mikrotečky



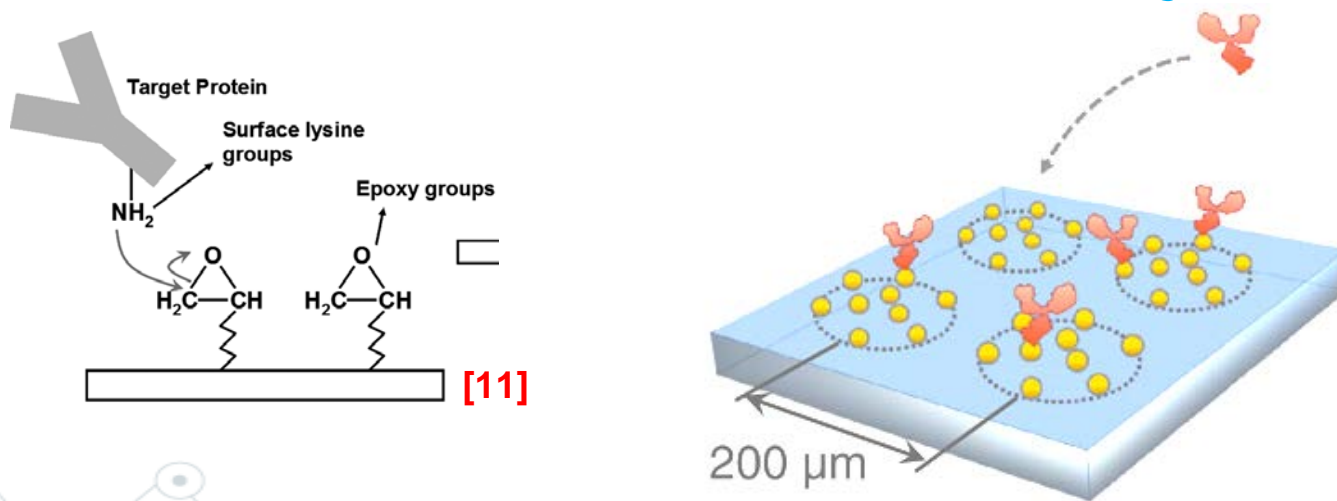
Výsledky

Detekce protilátek navázaných na pole proteinových mikroteček

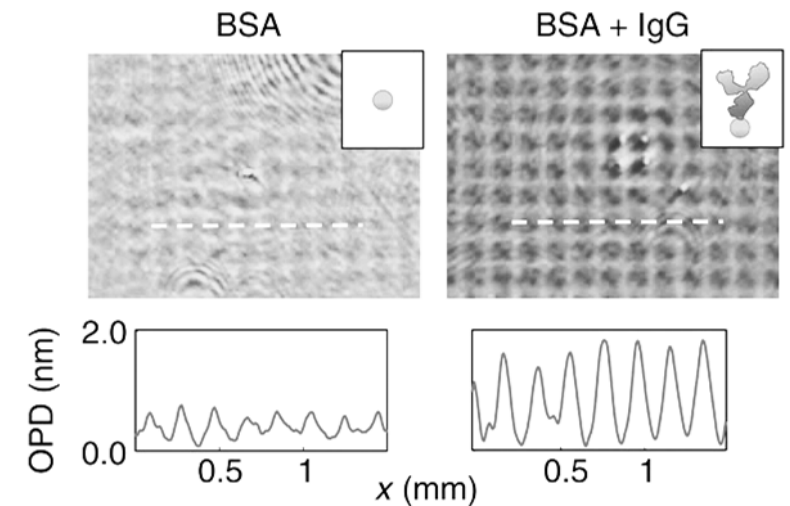
→ *albumin* (BSA)  navázaný na sklo modifikované epoxysilany

→ anti-BSA *immunoglobulin-G*  poté inkubován na stejném substrátu

→→ *navázání: měřitelně vyšší OPD profil teček*



[6]



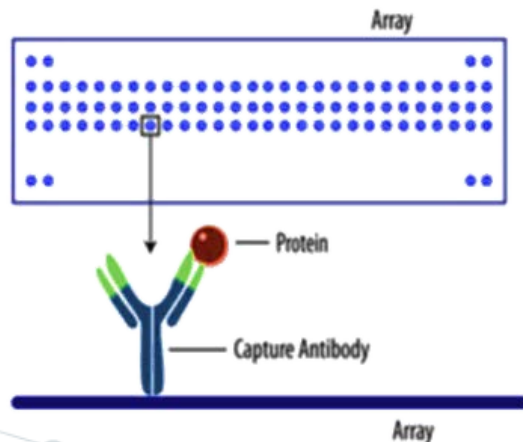
Využití [12]

© díky citlivosti + vysokému zornému poli:

možnost **současné detekce mnoha různých biomolekul**
ve vzorku → *to vše v krátkém časovém intervalu (< 30 min)*

© pro rychlou diagnózu zdravotního stavu pacientů (i mimo laboratoř)

© *krom medicíny: např. kontrola defektů při výrobě displayů...*

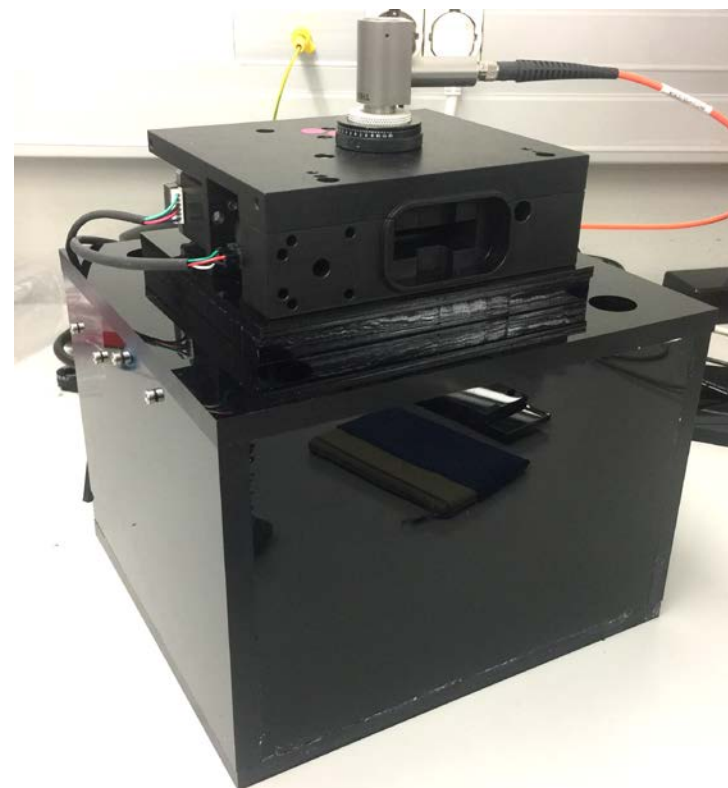


[13]

Současný stav

© **Vývoj komerčního prototypu:**

- výběr vhodného hardwaru,
- optimalizace ceny i velikosti,
- návrh a realizace vhodného GUI,
- návrh vhodného postupu měření,
- *experimenty: implementace strojového učení pro zlepšení uživatelského komfortu...*





“

*Náš cíl? **Levné, přenosné point-of-care zařízení pro rychlou detekci specifických biomolekul v nemocnicích i mimo ně po celém světě.***

Děkuji za pozornost!

ZDROJE:

- [1] <http://ourworldindata.org/technological-progress/>, citováno 27.5.2018
- [2] <http://www.mobile88.com/cellphone/nokia/nokia-6230i/photos.asp>, citováno 27.5.2018
- [3] <https://xiaomi-mi.com/mi-mix-2/xiaomi-mi-mix-2-6gb64gb-dual-sim-ceramic-black/>, citováno 27.5.2018
- [4] PUSHKARSKY, Ivan, Yunbo LIU, Westbrook WEAVER, Ting-Wei SU, Onur MUDANYALI, Aydogan OZCAN a Dino DI CARLO. Automated single-cell motility analysis on a chip using lensfree microscopy. *Scientific Reports* [online]. 2015, 4(1) [vid. 2018-05-28]. ISSN 2045-2322. Dostupné z: doi:10.1038/srep04717
- [5] <https://www.slideshare.net/sisikman/isikman-lensfree-microscopy-and-tomography-for-biomedical-application>, citováno 27.5.2018
- [6] TERBORG, R. A., J. PELLO, I. MANNELLI, J. P. TORRES a V. PRUNERI. Ultrasensitive interferometric on-chip microscopy of transparent objects. *Science Advances* [online]. 2016, 2(6), e1600077–e1600077. ISSN 2375-2548. Dostupné z: doi:10.1126/sciadv.1600077
- [7] MU, Tingkui, Chunmin ZHANG, Qiwei LI, Lin ZHANG, Yutong WEI a Qingying CHEN. Achromatic Savart polariscope: choice of materials. *Optics Express* [online]. 2014, 22(5), 5043. ISSN 1094-4087. Dostupné z: doi:10.1364/OE.22.005043
- [8] WYANT, James C. Computerized interferometric surface measurements [Invited]. *Applied Optics* [online]. 2013, 52(1), 1. ISSN 1559-128X, 2155-3165. Dostupné z: doi:10.1364/AO.52.000001
- [9] <http://bismar.blogspot.com.es/2012/11/how-does-bovine-serum-albumin-protein.html>, citováno 27.5.2018
- [10] <http://diysolarpanelsv.com/images/antibody-clipart-7.jpg>, citováno 27.5.2018
- [11] SUN, Yung-Shin a Xiangdong ZHU. Characterization of Bovine Serum Albumin Blocking Efficiency on Epoxy-Functionalized Substrates for Microarray Applications. *Journal of Laboratory Automation* [online]. 2016, 21(5), 625–631. ISSN 2211-0682, 1540-2452. Dostupné z: doi:10.1177/2211068215586977
- [12] http://www.ditabis.com/page/oem-point-of-care?lang=de_DE, citováno 27.5.2018
- [13] <https://databridgemarketresearch.com/reports/point-care-testing-poct-market/>, citováno 27.5.2018